

- platelet lysate and efficient use in cell culture [J]. Methods Mol Biol, 2013, 946: 349-362.
- [24] McGrath M, Tam E, Sladkova M, et al. GMP-compatible and xeno-free cultivation of mesenchymal progenitors derived from human-induced pluripotent stem cells [J]. Stem Cell Res Ther, 2019, 10 (1): 11.
- [25] Chase L G, Lakshmipathy U, Solchaga L A, et al. A novel serum-free medium for the expansion of human mesenchymal stem cells [J]. Stem Cell Res Ther, 2010, 1 (1): 8.
- [26] Devireddy L R, Myers M, Screven R, et al. A serum-free medium formulation efficiently supports isolation and propagation of canine adipose-derived mesenchymal stem/stromal cells [J]. PLoS One, 2019, 14 (2): e0210250.
- [27] Liu Z, Screven R, Boxer L, et al. Characterization of Canine Adipose-Derived Mesenchymal Stromal/Stem Cells in Serum-Free Medium [J]. Tissue Eng Part C Methods, 2018, 24 (7): 399.
- [28] Schubert S, Brehm W, Hillmann A, et al. Serum-free human MSC medium supports consistency in human but not in equine adipose-derived multipotent mesenchymal stromal cell culture [J]. Cytometry A, 2018, 93 (1): 60-72.
- [29] Lee M S, Youn C, Kim J H, et al. Enhanced cell growth of adipocyte-derived mesenchymal stem cells using chemically-defined serum-free media [J]. Int J Mol Sci, 2017, 18 (8): E1779.
- [30] Ben Azouna N, Jenhani F, Regaya Z, et al. Phenotypical and functional characteristics of mesenchymal stem cells from bone marrow: comparison of culture using different media supplemented with human platelet lysate or fetal bovine serum [J]. Stem Cell Res Ther, 2012, 3 (1): 6.

• 基础研究 •

MiR-194 过表达和抑制表达对肝癌细胞株 Hep-3b 中侧群细胞增殖的影响

福建医科大学附属肿瘤医院 福建省肿瘤医院 福建省肿瘤生物治疗重点实验室（福州 350014） 许扬梅
龚福生 刘沁颖 刘施佳 黄丽洁 郑秋红¹

【摘要】目的 研究 MicroRNA-194 (miR-194) 过表达和抑制表达对细胞株 Hep-3b 中侧群细胞增殖功能影响。**方法** 构建 miR-194 过表达和抑制表达慢病毒并感染 Hep-3b 细胞。流式细胞仪鉴定各感染组 SP 侧群比例, QPCR 检测各组细胞 miR-194-5p 表达, CCK-8 法检测各组细胞增殖能力, 软琼脂克隆形成实验检测细胞克隆形成能力。**结果** 流式细胞仪鉴定发现 miR-194 过表达 Hep-3b 组 SP 细胞含量与 miR-194 抑制表达 Hep-3b 组差异具有统计学意义 ($LSD-t = 3.550, P = 0.012$)。QPCR 检测显示 miR-194 过表达 Hep-3b 组 miR-194-5p 水平高于 miR-194 抑制表达 Hep-3b 组 ($LSD-t = 4.680, P = 0.007$)。CCK-8 实验表明 miR-194 过表达 Hep-3b 组和 miR-194 抑制表达 Hep-3b 组细胞增殖能力差异有统计学意义 ($LSD-t = 5.621, P = 0.002$)。软琼脂克隆形成实验显示 miR-194 过表达 Hep-3b 组比 miR-194 抑制表达 Hep-3b 组形成细胞克隆少 ($LSD-t = 5.849, P = 0.001$)。**结论** 成功构建了 miR-194 过表达和抑制细胞株, miR-194 抑制组显示明显的干细胞特征, 其含有更多 SP 细胞, 具有更强的细胞增殖能力和自我更新能力。

【关键词】 微小 RNA; 慢病毒载体; 肝癌; 干细胞

【中图分类号】 R735.7 **【文献标识码】** B **【文章编号】** 1002-2600(2019)06-0141-05

Influence of miR-194 up and down-expression on liver cancer stem cells XU Yangmei, GONG Fusheng, LIU Qinying, LIU Shijia, HUANG Lijie, ZHENG Qiuhong. Fujian Provincial Key Laboratory of Tumor Biotherapy, Fujian Medical University Cancer Hospital& Fujian Cancer Hospital, Fuzhou, Fujian 350014, China

【Abstract】 Objective To study the influence of miR-194 up and down-expression Hep-3b cell lines on the proliferation ability of SP cells. **Methods** Hep-3b was used to construct miR-194 up and down-expression cell lines via lentivirus infection. Flow cytometry was applied to identify SP cells. QPCR assay was adopted to test the expression of miR-194-5p in those cell lines. CCK-8 assay was conducted to study the proliferation ability of cells and soft agar colony formation assay was conducted to test colony-forming ability. **Results** Each infected cell line maintained good growth. Flow cytometry analysis showed that the SP percentage were significantly different between miR-194 up and down-regulation Hep-3b groups ($LSD-t = 3.550, P = 0.012$). QPCR assay of miR-194-5p showed statistic difference between miR-194 up and down-regulation Hep-3b groups ($LSD-t = 4.680, P = 0.007$). CCK-8 assay showed different growth ability between miR-194 up and down-regulation Hep-3b groups ($LSD-t = 5.621, P = 0.002$). Soft agar colony formation assay results less colonies formed in miR-194 up-regulation Hep-3b

基金项目：福建省自然科学基金资助项目（2016J01436）

1 通信作者

group than miR-194 down-regulation Hep-3b group ($LSD-t = 5.849$, $P = 0.001$)。Conclusion miR-194 up-regulation Hep-3b group than miR-194 down-regulation Hep-3b group were successfully constructed. miR-194 down-regulation Hep-3b group contains more SP cells, possess stronger growth ability and self-renewal ability, showing stronger proliferation and self-renewal ability.

【Key words】 MicroRNA; lentivirus vector; liver cancer; stem cell

微小 RNA (MicroRNA, miRNA) 是一类内源性、进化保守的、非编码单链小 RNA 分子, 它通过与目的基因的 3' 非翻译区结合抑制蛋白质翻译、调节目的基因表达。因此, miRNA 具有十分广泛的应用前景。miR-194 是当前 miRNA 研究的热点之一。已有研究表明, miR-194 与乳腺癌、肾癌、结直肠癌、前列腺、胃癌、肝癌、脑胶质瘤和黑色素瘤等多种肿瘤密切相关, 还可作为辅助诊断和预测临床预后的标志物^[1-8]。还有研究表明, miR-194 也与脂肪肝、HBV 感染肝炎等肝病有关系^[9]。侧群细胞 (side population, SP) 是具有干细胞特征的细胞^[10-11]。课题组前期在肝癌细胞株 Hep-3b 中证明了 SP 细胞的存在以及其肿瘤干细胞功能, 而且发现 SP 细胞中 miR-194 低表达^[12]。因此, 本研究构建 miR-194 过表达和抑制表达慢病毒载体, 以 Hep-3b 细胞为研究对象, 观察慢病毒感染后细胞株生物学功能的变化, 为研究 miR-194 调控肝癌 SP 细胞机制奠定基础。

1 材料与方法

1.1 细胞株、主要试剂与仪器: 人肝癌细胞系 Hep-3b 购自中国科学院上海药物研究所, 293T 细胞和 LipoFiter™ 脂质体转染试剂购自汉恒公司, DMEM 培养基和胎牛血清 (FBS) 购自美国 Hyclone 公司, 胰酶购自美国 Gibco 公司, 喹呤霉素购自美国 Sigma-Aldrich 公司, 微小 RNA 第一链 cDNA 合成试剂盒和微小 RNA 荧光定量试剂盒购自天根公司, QPCR (型号为 ViiA™ Dx Realtime PCR) 是美国 AB 公司生产, 流式细胞分选仪购自美国贝克曼公司。

1.2 miR-194-5p 过表达和抑制表达慢病毒载体构建及肝癌细胞株 Hep-3b 感染:

1.2.1 细胞培养方法: Hep-3b 在含体积分数为 10% FBS 的 DMEM 培养基中传代培养, 经质量分数为 0.25% 的胰酶消化, 1 500 r/min 离心 3 min ($r=20$ cm), 台盼蓝染色存活细胞计数。

1.2.2 引物序列及合成: miR-194-5p 上游引物 ATAG-GATCCCGTTCAAATCTACCAGTCCCTAA, 下游引物为 ATAGAACATCAAATGAGAGTCCAAGTGACCACAAT。miR-194-5p sponge 上游引物 ACAGGATCCTCCACATG-GAGTTGCTGTTACATATACTCCACATGGAGTTGCTG-TTACAAACATCTCCACATG; 下游引物 ATAGAACATTCTG-TAACAGCAACTCCATGTGGAGATGATG-TAACAGCAACTCCATGTGGAGATGTTGT

1.2.3 制备重组克隆、慢病毒包装和感染 Hep-3b 细胞: pHBLV-U6-Scramble-ZsGreen-Puro 载体 (汉恒公司) 用 EcoRI 和 BamHI (NEB 公司) 酶切, PCR 分别扩增 miR-194 和 miR-194 sponge 序列, 分别回收, 目的片段分别与载体连接, 转化 DH5a 感受态细胞, 平板挑菌, 将阳性克隆菌液送测序公司测序。

慢病毒包装、收获及浓缩, 按照汉恒公司的 LipoFiter™ 脂质体转染试剂方法分别将重组阳性克隆转染 293T 细胞, 转染后 48 h 和 72 h 分别两次收集病毒上清, -80 ℃保存。

检测前 1 d, 293T 细胞铺 96 孔板, 每一种慢病毒设 8 个梯度孔, 37 ℃、5% CO₂ 培养; 2 d, 每孔加入 100 μL 稀释好的病毒液培养 24 h; 72 h 后, 荧光显微镜下观察选取荧光比例 10% ~ 30% 进行病毒滴度计算。病毒滴度 (TU/mL) = 感染效率 × 感染时细胞数 × 10³ / 病毒原液体积 (μL)。慢病毒感染 Hep-3b 细胞, Hep-3b 细胞接种至 6 孔板, 3 × 10⁵ 个/孔, 培养 24 h 后加入 6 × 10⁸ TU/mL 病毒 20 μL, 感染复数 (MOI) 为 20, 24 h 后更换为 3 mL, 10% FBS+DMEM 培养基, 并加入嘌呤霉素 5 μg/mL。每天更换培养基, 4~6 d 待单克隆细胞生长至一定量后转入细胞瓶内培养建系。

1.3 QPCR 检测 miR-194-5p 表达: 用 Trizol 进行总 RNA 提取及质检。按照 miRNA 第一链 cDNA 合成试剂盒方法进行第一链合成, 采用微小 RNA 荧光定量试剂盒, 并在 QPCR 仪上将各样品进行目的 miRNA-194-5p 和内参 U6 实时定量扩增。数据采用 $2^{-\Delta\Delta CT}$ 法进行分析。引物设计如下: miR-194-5p 上游引物为 GCCGCTGTAACAGCAACTCC-AT, 下游引物为 GTGCAGGGTCCGAGGT; U6 上游引物为 CTCGCTTCGGTCGGCAGCACATATACT, 下游引物为 CGCTTCACGAATTTGCGT GT。

1.4 流式细胞术 SP 细胞的标记、检测和分选: 取对数生长期贴壁细胞, 分别制备成浓度为 1 × 10⁶ 个/ mL 的单细胞悬液, 加入 5 μg/mL 的荧光染料 Hoechst 33342 作为实验组, 对照组为 5 μg/mL 的荧光染料 Hoechst 33342 + 50 μM 异搏定, 置于 37 ℃水浴锅孵育 90 min, 每隔 30 min 震荡混匀 1 次。检测前加碘化丙啶染色标记死亡细胞。实验重复 3 次。采用 MoFlo XDP 流式细胞分选仪, 运用 355 nm 紫外激发光检测, Hoechst 33342 阴性或弱阳性为 SP 细胞, Hoechst 33342 阳性为非 SP (NSP) 细胞。并按照操作步骤检测 SP 和 NSP 细胞^[12]。

1.5 CCK-8 法检测人肝癌细胞系 Hep-3b 细胞增殖能力: 按 1 × 10³ 个/孔的浓度接种细胞于 96 孔板, 每组设 5 个复孔, 另设 5 个复孔, 只加 DMEM 培养液和 CCK-8 液做调零孔。接种 6 h 后吸去培养液, 加入新鲜的培养基 100 μL, 于细胞接种后 12、24、48、72 和 96 h, 每孔避光加入 CCK-8 10 μL, 避光培养 3.5 h 后, 测定波长 450 nm 处吸光度值。以检测时间为 X 轴, A_{450} 值为 Y 轴绘制细胞增殖曲线。

1.6 软琼脂克隆形成实验检测人肝癌细胞系 Hep-3b 细胞克隆形成能力: 以 0.6% 琼脂和 10% FBS 的 DMEM 培养基作为底层, 0.3% 琼脂和 10% FBS 的 DMEM 培养基作为上层, 与 104 个单细胞在 6 孔板中混合培养。每组同时做 6 个

平行孔, 14 d 后显微镜下拍照。计数大于 50 个细胞的克隆, 取其平均值。

1.7 统计学方法: 采用 SPSS 11.5 对数据进行统计学处理。计量资料采用 $\bar{x} \pm s$ 表示, 多组间均数比较采用单因素多样本方差分析, 多组间的两两比较方差齐性采用 LSD-t 法检验, 方差不齐性采用 Dunnett's T3 法检验。检验水准 $\alpha=0.05$ 。

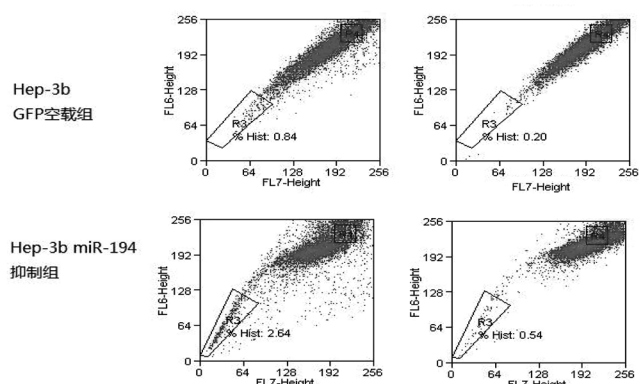
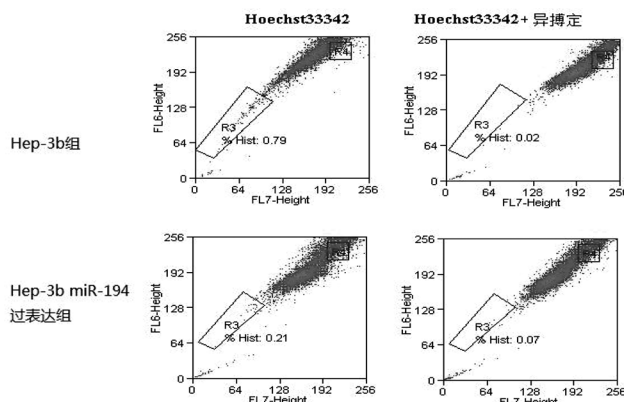
2 结果

2.1 慢病毒感染细胞 Hep-3b 形成稳定感染细胞株: 各感染组细胞生长状态良好, 发绿色荧光, 见图 1 (见封四)。MiR-194 过表达 Hep-3b 组、miR-194 抑制表达 Hep-3b 组和 Hep-3b GFP 空载组感染效率分别为 91.20%、98.50% 和 99.10%。

2.2 QPCR 检测各组细胞 miR-194-5p 表达: Hep-3b 组、Hep-3b GFP 空载组、miR-194 过表达 Hep-3b 组、miR-194 抑制表达 Hep-3b 组 miR-194-5p 表达水平分别为 1.00 ± 0.07 、 1.03 ± 0.08 、 3.36 ± 0.29 、 0.53 ± 0.05 , 4 组间比较差异有统计学意义 ($F=16.486$, $P=0.005$)。多组间的两

两比较显示, 与 Hep-3b GFP 空载组相比, miR-194 过表达 Hep-3b 组 miR-194-5p 水平升高 ($LSD-t=4.550$, $P=0.009$), miR-194 抑制表达 Hep-3b 组降低 ($t=1.937$, $P=0.036$), miR-194 过表达 Hep-3b 组 miR-194-5p 水平高于 miR-194 抑制表达 Hep-3b 组 ($t=4.680$, $P=0.007$)。

2.3 流式细胞术检测各组 SP 细胞: Hep-3b 组、Hep-3b GFP 空载组、miR-194 过表达 Hep-3b 组、miR-194 抑制表达 Hep-3b 组 SP 细胞含量分别为 $(0.74 \pm 0.10)\%$ 、 $(0.72 \pm 0.13)\%$ 、 $(0.29 \pm 0.08)\%$ 和 $(2.53 \pm 0.57)\%$, 4 组间比较差异有统计学意义 ($F=6.200$, $P=0.034$, 图 2)。多组间的两两比较显示, 与 Hep-3b GFP 空载组相比, miR-194 过表达 Hep-3b 组 SP 细胞含量下降 ($t=3.013$, $P=0.023$), miR-194 抑制表达 Hep-3b 组含量增加 ($t=3.179$, $P=0.021$); miR-194 过表达 Hep-3b 组 SP 细胞含量与 miR-194 抑制表达组差异具有统计学意义 ($t=3.550$, $P=0.012$), 即 miR-194 表达越低, SP 细胞含量越高。

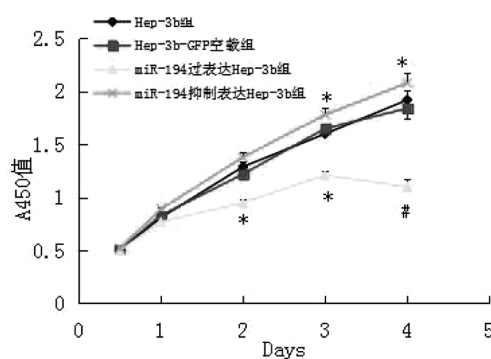


注: R3 区域是 SP 细胞, R4 区域是选取部分非 SP 细胞。当 Hoechst 33342+异搏定同时作用, 可以使 SP 细胞不被检测出来。

图 2 流式细胞术检测各组 SP 细胞

2.4 miR-194 过表达和抑制表达 Hep-3b 细胞增殖能力变化: 图 3 示, 细胞接种 72 h 后, Hep-3b 组、Hep-3b GFP 空载组、miR-194 过表达 Hep-3b 组、miR-194 抑制表达 Hep-3b 组增殖 A 值分别为 1.61 ± 0.08 、 1.65 ± 0.07 、 1.22 ± 0.03 、 1.79 ± 0.12 , 4 组间比较差异有统计学意义 ($F=12.394$, $P=0.009$)。多组间的两两比较显示, 与 Hep-3b GFP 空载组相比, miR-194 过表达 Hep-3b 组和 miR-194 抑制表达 Hep-3b 组增殖能力差异均具有统计学意义 ($t=1.882$, $P=0.040$; $t=3.621$, $P=0.012$); miR-194 过表达和抑制表达 Hep-3b 组增殖能力差异具有统计学意义 ($t=5.621$, $P=0.002$), 表明 miR-194 抑制表达 Hep-3b 组增殖能力增强, miR-194 过表达 Hep-3b 组增殖能力减弱。

2.5 miR-194 过表达和抑制表达 Hep-3b 组细胞组软琼脂形成能力变化: 图 4 示, 14 d 后, Hep-3b 组、Hep-3b GFP 空载组、miR-194 过表达 Hep-3b 组、miR-194 抑制表达 Hep-3b 组克隆数分别为 21 ± 2.31 、 21 ± 1.99 、 15.97 ± 3.25 和 33.61 ± 2.41 , 4 组间比较差异有统计学意义 ($F=38.476$, $P=0.013$)。miR-194 过表达 Hep-3b 组和 miR-194 抑制表



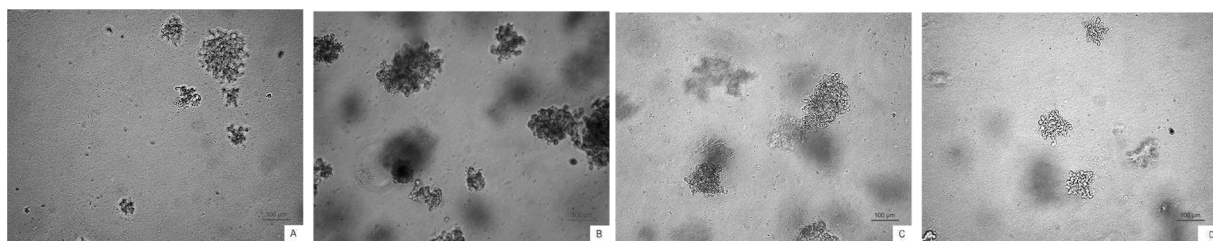
注: 与 Hep-3b GFP 空载组比较, * $P < 0.01$, # $P < 0.001$ 。

图 3 miR-194 过表达和抑制表达 Hep-3b 组细胞增殖能力变化比较

达 Hep-3b 组差异均具有统计学意义 ($t=5.849$, $P=0.001$), 表明 miR-194 过表达 Hep-3b 组比 miR-194 抑制表

达 Hep-3b 组形成细胞克隆少, 提示 miR-194 抑制表达 Hep-

3b 组细胞具有更强的增殖和自我更新能力。



注: A 为 miR-194 过表达 Hep-3b 组; B 为 miR-194 抑制表达 Hep-3b 组; C 为 Hep-3b 组; D 为 Hep-3b GFP 空载体组。

图 4 miR-194 过表达和抑制表达 Hep-3b 组软琼脂形成能力 ($\times 100$)

3 讨论

肝癌是我国常见的恶性肿瘤之一, 其发病率在恶性肿瘤中居第3位。长期以来肝癌的治疗手段难以达到满意的疗效。实验研究表明肿瘤干细胞是肿瘤发生、发展、复发转移的根本原因^[12]。研究肝癌干细胞能为我们治疗肝癌提供很好的思路。miR-194 是肝脏高表达的 miRNAs 之一, 且特异性的表达于肝上皮细胞。肿瘤干细胞和 miRNAs 都可以成为肿瘤分子靶向治疗的潜在靶点。我们前期研究通过基因芯片检测肝癌 SP 和 NSP 细胞差异表达的 miRNA, 筛选了 27 个肝癌干细胞特异性 miRNA, 并在另外两个细胞株中验证, 找到了 3 个细胞株 SP 细胞共同低表达的 miR-9 * 和 miR-194^[12]。因此我们推测 miRNA-194 对于肝癌干细胞的调控起着重要的作用, 但对它的具体功能和调控机制并不清楚。

本研究以 Hep-3b 细胞为研究对象, 构建 miR-194 过表达和抑制慢病毒载体。慢病毒载体具有构建方法简单、目的基因表达稳定及感染效率高等优点。流式细胞仪检测表明细胞感染率均 $>90\%$, 为实验的准确性提供了保证。

SP 法是研究干细胞一个非常重要的方法, SP 细胞具有干细胞特性, 这些年国内外已经有很多文章报道^[10-12]。SP 法的原理依赖细胞膜表面 ABC 转运子蛋白将染料泵出细胞外, 所以 Hoechst33342 染色阴性; 加入异搏定, 抑制钙泵活动, 细胞无法外排 Hoechst33342, SP 群大量减少或消失, 从而进一步证明 SP 法原理。本实验经过一系列 Hoechst33342 和异搏定浓度测试, 选定了最优染色方案: 5 μ g/mL Hoechst 33342 + 50 μ M 异搏定。流式细胞检测显示 miR-194 表达量越低, 则 SP 细胞含量越高, 这与前期实验结果 SP 细胞中 miR-194 表达量低是相呼应的, 此结果提示 miR-194 可调控 SP 细胞含量。目前还未见其他相关报道, 这是本研究重要的创新点。研究组还推测其机制可能在于 miR-194 的潜在靶标之一 BMI1。BMI1 能使肿瘤细胞不断更新成为肿瘤干细胞, 其表达水平与肿瘤的发生、发展、侵袭、预后等病理指标相关^[13]。Zhang 等^[14]在胶质瘤的研究中也发现 miR-194 是通过 BMI1 来调控胶质瘤细胞的上皮间质变。

CCK-8 法和软琼脂克隆形成实验检测细胞克隆形成能力实验显示, miR-194 抑制表达组具有明显的干细胞特征: 具有更高的细胞增殖能力和更强的克隆形成能力。这进一步证明了 miR-194 的调控功能, 与 SP 细胞的功能一致。Zhao 等^[6]研究发现在 Hep-3b 细胞系中过表达 miR-194 能抑制细

胞增殖, 与本研究结果是一致的。张杨等^[15]运用瞬时转染方法在 HepG2 肝癌细胞株中也上调和下调了 miR-194 水平, 但他们的研究结果是过表达 miR-194 促进细胞增殖。导致结果不一致的原因很多, 可能在于肝癌细胞株的不同, 又或者是 miR-194 转染方式不同。项目组后期将在更多的肝癌细胞株中验证研究结果。

综上所述, 本研究采用慢病毒感染技术, 建立了 miR-194 过表达及抑制表达稳定细胞株, 并证明 miR-194 能抑制肝癌细胞干细胞特征。今后项目组准备运用双荧光素酶报告基因实验证明 miR-194 和 BMI1 的结合及 BMI1 功能等一系列实验, 以构建在肝癌细胞株中 miR-194 的调控通路。

参考文献

- [1] Yang F, Xiao Z, Zhang S. Knock down of miR-194-5p inhibits cell proliferation, migration and invasion in breast cancer by regulating the Wnt/ β -catenin signaling pathway [J]. Int J Mol Med, 2018, 42 (6): 3355-3363.
- [2] Nofech-Mozes R, Khella H W, Scorilas A, et al. MicroRNA-194 is a marker for good prognosis in clear cell renal cell carcinoma [J]. Cancer Med, 2016, 5 (4): 656-664.
- [3] Li C F, Li Y C, Wang Y, et al. The effect of xLncRNA H19/miR-194-5p axis on the epithelial-mesenchymal transition of colorectal adenocarcinoma [J]. Cell Physiol Biochem, 2018, 50 (1): 196-213.
- [4] Gao S, Zhao Z, Wu R, et al. MicroRNA-194 regulates cell viability and apoptosis by targeting CDH2 in prostatic cancer [J]. Onco Targets Ther, 2018, 11 (14): 4837-4844.
- [5] Zhao X, Hou Y, Tuo Z, et al. Application values of miR-194 and miR-29 in the diagnosis and prognosis of gastric cancer [J]. Exp Ther Med, 2018, 15 (5): 4179-4184.
- [6] Zhao Y, Li F, Zhang X, et al. MicroRNA-194 acts as a prognostic marker and inhibits proliferation in hepatocellular carcinoma by targeting MAP4K4 [J]. Int J Clin Exp Pathol, 2015, 8 (10): 12446-12454.
- [7] 滕浩, 薛一雪, 王萍, 等. miR-194 对人脑胶质瘤 U87 细胞恶性生物学行为的影响 [J]. 中国医科大学学报, 2018, 47 (8): 673-677.
- [8] 王永晶, 李娜. MiR-194 在葡萄膜黑色素瘤细胞系中的表达及对细胞增殖、凋亡、迁移和侵袭的影响 [J]. 眼科新进展, 2018, 38 (11): 1033-1036.
- [9] Gao X, Zhao P, Hu J, et al. MicroRNA-194 protects against

- chronic hepatitis B-related liver damage by promoting hepatocyte growth via ACVR2B [J]. *J Cell Mol Med*, 2018, 22 (9): 4534-4544.
- [10] Mahkamova K, Latar N M, Aspinall S, et al. Side population cells in anaplastic thyroid cancer and normal thyroid [J]. *Exp Cell Res*, 2019, 374 (1): 104-113.
- [11] Hotfilder M, Mallela N, Seggewi J, et al. Defining a characteristic gene expression set responsible for cancer stem cell-like features in a sub-population of ewing sarcoma cells CADO-ES1 [J]. *Int J Mol Sci*, 2018, 19 (12): E3908.
- [12] Xu Y, Xie Y, Wang X, et al. Identification of cancer stem cells from hepatocellular carcinoma cell lines and their related microRNAs [J]. *Oncol Rep*, 2013, 30 (5): 2056-2062.
- [13] Huang K, Zhu Y, Ma Y, et al. BMI1 enables interspecies chimerism with human pluripotent stem cells [J]. *Nat Commun*, 2018, 9 (1): 4649.
- [14] Zhang X, Wei C, Li J, et al. MicroRNA-194 represses glioma cell epithelial-mesenchymal transition by targeting Bmi1 [J]. *Oncol Rep*, 2017, 37 (3): 1593-1600.
- [15] 张杨, 杨琰, 曹钧. 微小 RNA-194 对肝癌细胞增殖和侵袭的影响 [J]. 中华实验外科杂志, 2018, 35 (5): 842-844.

• 基础研究 •

HPLC-MS/MS 法测定人血浆中利伐沙班的浓度

福建医科大学省立临床医学院 福建省立医院药学部(福州 350001) 陈敏 高红瑾 阳丽梅

【摘要】目的 建立人血浆中利伐沙班(rivaroxaban)的高效液相色谱-串联质谱法(HPLC-MS/MS)法测定的方法，并对其进行方法学验证。**方法** 血浆样品采用乙腈直接沉淀，选择盐酸氨溴索作为内标物。采用菲罗门Kinetex 2.6u C18 100A (50×2.10 mm, 1.8 μm) 色谱柱，流动相为乙腈：水 (30:70) 用甲酸调 pH 至 3.0, 流速 0.3 mL/min, 柱温 35 °C, 电喷雾离子源(ESI)正离子检测方式，选择多重反应监测模式进行测定，用于定量的离子对分别为利伐沙班质荷比(m/z) 436.0/144.9、盐酸氨溴索 m/z 379.0/263.9。**结果** 利伐沙班在 2.5~500 ng/mL 范围内呈良好的线性关系($r=0.9999$)，定量下限是 2.5 ng/mL；日内、日间相对标准偏差(RSD) 0.29%~2.38%，相对误差(RE) -0.59%~0.90%，基质效应 97.76%~100.41%，提取回收率为 98.64%~102.84%。血浆样品在室温放置 24 h, -20 °C 反复冻融 3 次以及-80 °C 冷冻 30 d, 不影响利伐沙班含量测定。**结论** 本研究建立的 HPLC-MS/MS 法测定利伐沙班血药浓度，具有简便、快速、准确，适用于临床常规监测及药动学研究等特点。

【关键词】 利伐沙班；HPLC-MS/MS 法；血药浓度

【中图分类号】 R917 **【文献标识码】** A **【文章编号】** 1002-2600(2019)06-0145-04

Determination of rivaroxaban concentration in human plasma by HPLC-MS/MS CHEN Min, GAO Hongjin, YANG Limei. Department of Pharmacy, Fujian Provincial Hospital, Provincial Clinical Medical College of Fujian Medical University, Fuzhou, Fujian 350001, China

【Abstract】 Objective To establish a HPLC-MS / MS method to determinate rivaroxaban concentration in human plasma, and the method was verified by methodology. **Methods** Plasma samples by acetonitrile precipitation were to be determined by using ambroxol hydrochloride as Internal Standard (IS). The chromatographic column was Kinetex 2.6u C18 100A (50×2.10 mm, 1.8 μm), and the mobile phase using water (adjust pH to 3.0 with formic acid)-acetonitrile (70:30) with flow rate of 0.3 mL /min. The mass spectrometer was operated in positive electron spray ionization (ESI) and multiple response monitoring patterns, m/z 436.0/144.9 and m/z 379.0/263.9 were used for the measurement of rivaroxaban and ambroxol hydrochloride, respectively. **Results** Rivaroxaban was linear in the range of 2.5 to 500 ng/mL, and the quantification lower limit of rivaroxaban was 2.5 ng/mL. The intra-day and inter-day precisions (relative standard deviation, RSD) were 0.29% to 0.38%, the accuracy was between -0.59% and 0.90%. The matrix effect was in the range of 97.76% to 100.41%, and the absolute recovery was in the range of 98.64% to 102.84%. The plasma samples were stable under conditions including placing at room temperature for 24 h, repeated freezing and thawing at -20 °C for 3 times, and freezing at -80 °C for 30 days. **Conclusion** The HPLC-MS/MS method established in our study is convenience, accurate and rapid for the determination of rivaroxaban in blood, which is applicable for the routine monitoring and PK study of rivaroxaban.

【Key words】 rivaroxaban; HPLC-MS/MS; plasma drug concentration

利伐沙班(rivaroxaban)即5-氯-N-(((5S)-2-氧代-3-(4-(3-氧代吗啉-4-基)苯基)-1,3-噁唑啉-5-基)甲基)

噻吩-2-甲酰胺，属于直接Xa因子抑制剂，由拜耳医药保健有限公司开发用于抗凝治疗，预防血栓形成，与传统抗凝药